

## II-263 粗度急変流(粗→滑)における底面せん断力の算定

早稲田大学理工学部 学生員 O 村 壮 宏  
東洋大学 工学部 正員 福井 吉孝  
早稲田大学理工学部 正員 吉川 秀夫

### 1. はじめに

ある河床状態で、十分に境界層の発達した流れが、まったく別の河床状態の領域へ流入すると、新たな河床状態の影響により、内部境界層が発達することが知られている。これがいわゆる粗度急変流である。

石川・吉川<sup>1)</sup>らは、滑→粗の粗度急変流に対し、境界層理論によって内部境界層を取扱い、いくつかの問題点を指摘している。また、佐藤<sup>2)</sup>は、内部境界層に関する物理的現象について考察している。西野<sup>3)</sup>は、これらの研究をもとに、粗度急変点の境界条件のみで、境界層理論による解析を行なった。筆者らは、これらの研究をもとに、図1に示すような粗→滑の粗度急変流について、境界層理論によって解析を行ない、底面せん断力の算定を行なった。

### 2. 実験

図2に示すような、鉛直可変配水路において実験を行なった。滑面としてアクリル板を、粗面として、直径1.6cmのビー玉を敷いたものを用いた。実験内容を表1に示す。

実験としては、内部境界層の発達を調べるために、粗度急変点前後、断面内にわたって、ピトー管により流速を測定し、流速分布形状を求めた。内部境界層は、図1のように、流速分布の変曲点が示される。実験で得られた流速分布を西野<sup>3)</sup>の分布を表わすと、内部境界層厚が得られる。実験によると、流速分布は、粗面上で1/5乗則、滑面上で1/7乗則に従うことがわかった。

TAB1. EXPERIMENT

RUN	flowrate(l/s)	$h_0(cm)$	$1 \times 10$
1	20.15	5.2	0.0583
2	30.27	6.7	"
3	16.90	5.0	"
4	20.15	6.1	0.0258

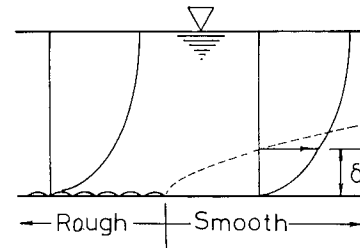


図1. 内部境界層の概念

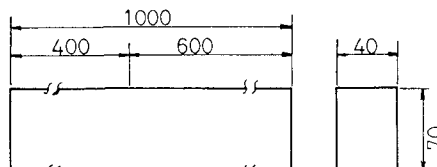


図2. 実験水路

### 3. 底面せん断力の算定

一般的に、乱流境界層の取扱いにおいては、カルマンの運動量式が用いられている。しかし、本ケースの場合、図1に示すように、 $\delta = \delta_0$ において、 $\delta/\delta_0$ が0であるから、 $\delta = \delta_0$ におけるせん断力を考慮せねばならないため、カルマンの運動量式は、(1)式のようになる。

$$\frac{\partial}{\partial x} (\bar{U}^2) + \delta^* \bar{U} \frac{\partial \bar{U}}{\partial x} = \frac{1}{\rho} (\tau_0 - \tau_\delta) \quad (1)$$

$\delta$ : 運動量厚  $\delta^*$ : 排除厚

#### 3-1° 主流速の算定

一般的に主流速 $\bar{U}$ は、断面の最大流速である。しかし、内部境界層の場合、図1のようには、 $\delta = \delta_0$ における流速は、最大ではない。西野<sup>3)</sup>によると、(1)式を適用することから、運動量厚上の流速を考えることを提案している。滑面上で、 $\bar{U}$ によるエネルギー損失を無視して、全断面にベルヌーイの定理を適用すると、(2)式を

得る。これを差分化し、初期値として、境界点上の運動量厚上の流速を与えるとひが算定される。境界層内で、ベキ乗則が成立すると仮定すると、流量 $Q$ 、境界点の水深 $h_0$ がわめると、運動量厚上の流速は(3)式で与えられる。なお、計算上の仮定とし、西野ら<sup>3)</sup>と同様、 $x$ 方向の水深は $h_0$ で一定とした。

$$U \frac{\partial U}{\partial x} = gI \quad I: \text{河床勾配}$$

$$U_{x=0} = \frac{n+1}{n} \cdot \frac{Q}{Bh_0} \cdot \left\{ \frac{n}{(n+1)(n+2)} \right\}^{\frac{1}{n}} \quad (3) \quad B: \text{水路幅}$$

### 3-2° 内部境界層厚の算定

内部境界層の発達のし方は、乱流境界層と同じであると一般的にいわれている。<sup>4)</sup>したがって、本計算の概念は、図3に示すようになる。このことを考えると、(1)式において、(4)式が成立しなくてはならない。これを(5)式のように(1)式と連立させて差分化し、(2)式によって得られた $U$ を与えると、 $\delta$ が計算される。

$$\tau_0 - \tau_s = 0.0225 \left( \frac{U\delta}{V} \right)^{-\frac{1}{2}} \rho U^2 \quad (4) \quad \text{ブラジウスの抵抗則}$$

$$\frac{7}{72} U \frac{\partial \delta}{\partial x} + \frac{23}{72} \delta \frac{\partial U}{\partial x} = 0.0225 \left( \frac{U\delta}{V} \right)^{-\frac{1}{2}} \rho U^2 \quad (5)$$

### 3-3° 底面せん断力の算定

松井<sup>2)</sup>によると、木深方向のせん断力分布は、内部境界層外で前の状態が保存されていることがわかっている。この場合、粗→滑と河床状態が変わるので、図5に示すように、粗面上の乱れ、すなわちでは、西野ら<sup>3)</sup>と異なり、無視しない。そこで、木深方向のせん断力が直線的に変化すると仮定すれば、 $\tau_0$ は、(6)式で示される。一方、(6)式中の $\tau_r$ は、粗面上の底面せん断力で、これは、平均流速公式から、(7)式で表される。

$$\tau_0 = \tau_r (1 - \frac{\delta}{h_0}) \quad (6)$$

$$\tau_r = P \left\{ \frac{1}{6.0 + 5.75 \log_{10} \frac{h_0}{R_s}} \frac{Q}{Bh_0} \right\}^2 \quad (7)$$

これらと、(4)式から、 $\tau_0$ が算定される。

### 3-4° 算定結果

計算結果の一例を図6、7に示す。これより、粗→滑の流れも、粗度急変点で、せん断力が上昇することがわかる。また、西野ら<sup>3)</sup>と比較すると、粗→滑の流れの方が、滑→粗の流れに比較して、内部境界層の発達のし方は小さい。したがって、 $\tau_0$ の回復は、本ケースの場合の方が遅くなる。

最後に、本実験の遂行に協力して下さった、早大理工学部流体実験室の皆さんに、記して謝意を表します。

(参考文献) 1) 吉川、石川、吉川 「開水路の内部境界層の研究」 土木学会論文集 第235号

2) 吉川、松井 「内部境界層の発達機構に関する研究」 第38回年次講演会

3) 西野、松井、吉川 「粗度急変流における境界層理論の適用」 第39回年次講演会

4) R.A.ANTONIA and R.E.LUXTON, e.t.c.

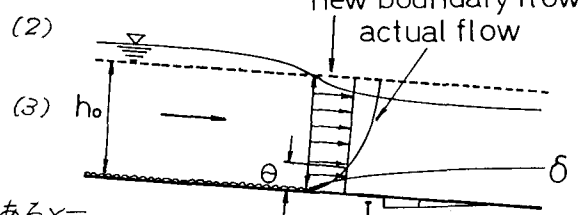


図3. 計算上の仮定

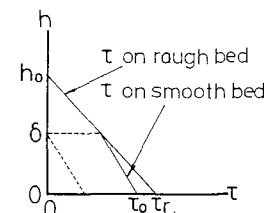


図4. 水深方向のせん断力

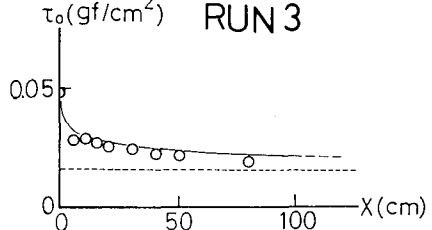


図5.  $\tau_0$  の算定結果  
RUN 3

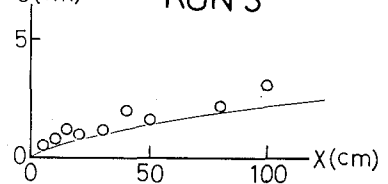


図6.  $\delta$  の算定結果  
RUN 3